

УДК 519.711:53.072

МАСШТАБНОЕ МОЛЕКУЛЯРНО-ДИНАМИЧЕСКОЕ МОДЕЛИРОВАНИЕ СМАЧИВАНИЯ В СИСТЕМЕ Pb-Cu¹

В.А. Тимошенко, В.Е. Боченков, П.В. Проценко

Химический факультет МГУ им. М.В. Ломоносова

Влияние размерного фактора на механические и физико-химические свойства металлических частиц хорошо известно. Экспериментально подтверждено снижение температуры плавления, изменение теплоемкости, повышение прочности ультрадисперсных частиц по сравнению с макрофазой [1]. Теоретически вопрос влияния кривизны поверхности на поверхностную энергию был разработан Толменом, однако прямого экспериментального подтверждения получено не было. Наличие линейного натяжения и его влияние на краевой угол смачивания было изучено Шелудко и Платикановым на ряде низкотемпературных систем с относительно слабыми межмолекулярными взаимодействиями [2]. Интересные результаты по измерению линейного натяжения в системах ж1/ж2/тв были получены в работе [3]. Влияние размера капли на краевой угол, которое можно интерпретировать в рамках представлений о линейном натяжении, наблюдалось при смачивании графита расплавом свинца [6].

Целью работы было изучение влияния масштабного фактора на краевой угол смачивания с использованием молекулярно-динамического моделирования в модельной несмешивающейся металлической системе – Pbж/CuТВ (при температуре плавления свинца растворимость меди в расплаве составляет примерно 0.2 ат%) и оценка параметров характеризующих масштабный эффект – линейного натяжения κ и параметра толщины поверхностного слоя δ [2].

Расчеты проводили с использованием свободно распространяемого молекулярно-динамического пакета программ LAMMPS на суперкомпьютере «СКИФ-МГУ». Для описания межатомного взаимодействия использовали многочастичный потенциал, полученный в рамках метода погруженного атома (EAM) [4]. В качестве начальной конфигурации рассматривалась сферическая капля свинца с начальным радиусом 1.5 нм (476 атомов Pb) на поверхности подложки Cu (001), толщи-

¹Работа выполнена при поддержке РФФИ, грант № 08-08-01000-а. В работе использованы вычислительные мощности суперкомпьютера «СКИФ-МГУ».

ной 2 нм при температуре 600 К. Нижний слой атомов подложки был зафиксирован. Моделирование растекания капли происходило до тех пор, пока площадь межфазного контакта и краевой угол смачивания не переставали меняться.

Определение геометрических параметров капли по результатам молекулярно-динамического моделирования проводилось методом, предложенным в [5]. Для этого капля рассекалась на отдельные слои и проводилась выборка всех атомов свинца, попадающих в слой. Далее определялись положение центра масс выбранных атомов и диаметр окружности в которую вписано 98% атомов выбранного слоя. Полученный таким образом набор значений диаметров срезов капли на разных высотах использовался для построения профиля капли путем аппроксимации ее поверхности сегментом окружности.

Зависимость краевого угла смачивания и диаметра основания капли от времени представлены на рис. 1. Примерно через 6 нс после начала процесса краевой угол и диаметр основания капли перестают зависеть от времени, т.е. система приходит к равновесию. Краевой угол при этом составляет 15° . В тоже время для капель, образованных макрофазой свинца, краевой угол при выбранной температуре составляет 43° [6].

Уменьшение краевого угла при уменьшении размера капли может происходить из-за уменьшения поверхностного натяжения на сильно искривленной поверхности. Такая интерпретация предложена Толменом [2]. Согласно уравнению Толмена поверхностное натяжение сильно искривленной поверхности определяется как $\sigma_r = \sigma_0 / (1 + 2\delta / R)$, где R - радиус кривизны поверхности, а δ - эмпирический параметр, имеющий смысл толщины поверхностного слоя.

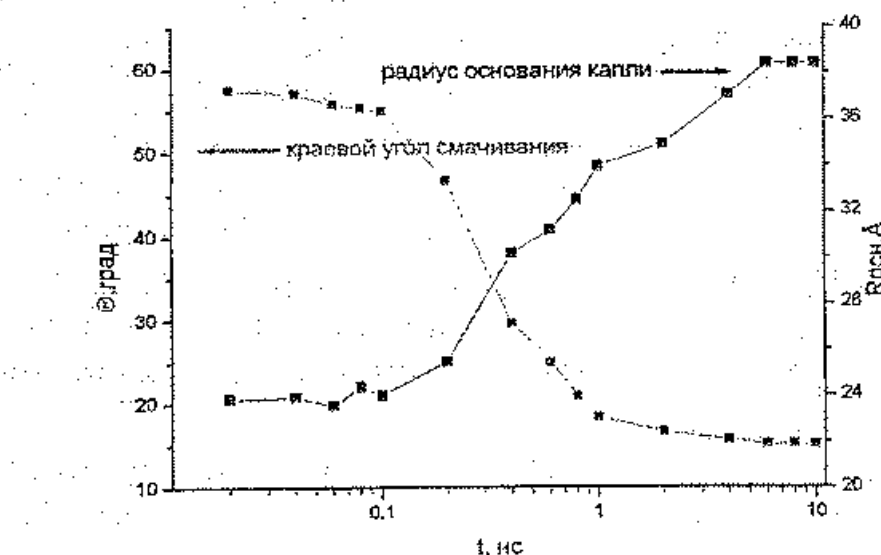


Рис.1. Кинетика изменения краевого угла смачивания и радиуса основания капли свинца с начальным радиусом 1.5 нм

Подставляя значение поверхностного натяжения жидкость-газ в уравнение Юнга получаем зависимость краевого угла от радиуса кривизны капли:

$$\cos(\theta_r) = \cos(\theta_0)(1 + 2\delta/R)$$

(рис.2).

Полученное в результате моделирования значение краевого угла для наноразмерной капли свинца и значение краевого угла для макрокапель свинца позволяют оценить значение параметра в уравнении Толмэна $\delta = 2$ нм. Эта величина примерно на порядок выше, чем обычно обсуждаемое для металлических систем значение. Так рассчитанное для золота значение δ составило 0.275 нм [7].

Другой причиной, которая может приводить к снижению краевого угла при уменьшении размера капли, является наличие отрицательного линейного натяжения на линии трехфазного контакта капля-подложка-вакуум [2]. Тогда зависимость краевого угла от радиуса кривизны частицы оказывается: $\cos(\theta_r) = \cos(\theta_0) - k/(r\sigma)$, где r – радиус основания капли и σ – поверхностное натяжение расплава (462 мДж/м²). Оценка величины линейного натяжения по представленным на рис. 1 данным ($r = 3,8$ нм) дает значение $k = -4.1 \cdot 10^{-10}$ Дж/м или 57 кДж/моль атомов свинца, находящихся на тройной линии.

Для теоретической оценки избыточной энергии атомов свинца, находящихся на линии тройного стыка, предлагается использовать простую модель, учитывающую взаимодействие атомов только с ближайшими соседями без учета энтропийных эффектов в пренебрежении различия в упаковке атомов подложки и расплава. В простейшем случае можно считать, что атомы расплава и подложки упакованы плотнейшим образом. Тогда избыточную энергию атома Pb на тройной линии по сравнению с атомом Pb на поверхности расплава свинца можно приблизительно оценить как $\Delta E = (3\varepsilon_{Pb-Cu} + 6\varepsilon_{Pb-Pb}) - 9\varepsilon_{Pb-Pb} = 3(\varepsilon_{Pb-Cu} - \varepsilon_{Pb-Pb})$ (рис. 3).

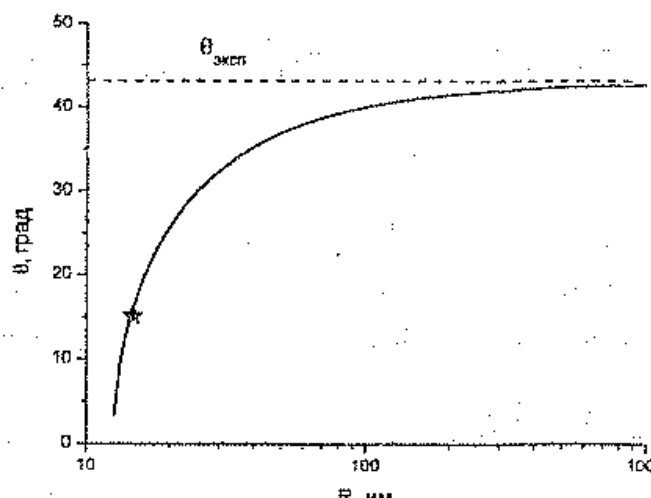


Рис.2. Зависимость краевого угла смачивания от радиуса кривизны поверхности

Оценить значение ϵ_{Pb-Pb} можно исходя из теплоты испарения Pb:

$$\epsilon_{Pb-Pb} = \frac{2\Delta H_{ исп }^{Pb}}{Z} = 29,6 \text{ кДж / моль},$$

а значение ϵ_{Pb-Cu} из теплот испарения свинца и меди (177,7 кДж/моль и 300,3 кДж/моль соответственно) и их теплоты смешения λ (23,1 кДж/моль [8]):

$$\epsilon_{Cu-Pb} = \frac{\lambda}{Z} + \frac{1}{2}(\epsilon_{Cu-Cu} + \epsilon_{Pb-Pb}) = 41,75 \text{ кДж / моль}$$

Полученное значение избыточной энергии связей атомов свинца на линии трехфазного контакта составило 36,4 кДж/моль относительно атомов в поверхностном слое, что по порядку величины согласуется с результатом моделирования (57 кДж/моль).

Таким образом, энергия связей атомов на линии трехфазного контакта оказывается выше энергии связей атомов в поверхности расплава, что объясняет отрицательное значение линейного натяжения. Анализ результатов моделирования влияния размерного фактора на краевой угол смачивания показал, что краевой угол уменьшается с уменьшением размера капли. Показано, что эффект можно объяснить наличием отрицательного линейного натяжения, а влиянием кривизны поверхности капли на поверхностное натяжение при радиусе кривизны равном 13 нм можно пренебречь. Этот фактор должен проявляться только для капель меньшего размера.

Литература

1. Sergeev, G.B. Nanochemistry / G.B.Sergeev. - Elsevier Pub., 2006 -249 р.
2. Сумм, Б.Д. Коллоиднохимические аспектыnanoхимии – от Фарадея до Пригожина./ Б.Д. Сумм, Н.И. Иванова //Вестн. Моск. Ун-та. Сер. 2. Химия. - 2001. - Т. 42, № 5. – С. 300-305
3. Yongan, Gu. Drop size dependence of contact angles of oil drops on a solid surface in water./ Gu.Yongan //Colloids and Surfaces A Physicochemical and Engineering Aspects. - 2001. - V. 181. –P. 215–224
4. Hoyt J.J., Garvin J.W., Webb E.B. III et al. //Model. Simul. Mater. Sci. Eng. -2003.- V. 11. – P.287.
5. Webb E. III, Grest G., Heine D. et al. // Acta Materialia. – 2005. -V. 53. - P. 3163.
6. Eustathopoulos, N. Wettability at high temperatures. / N.Eustathopoulos, M. Nicholas, B.Drevet. - Pergamon, Oxford. – 1999.
7. К расчету постоянной Толмена. / С.Ш.Рехвиашвили, Е.В. Киштикова, Р.Ю. Кармокова и др// Письма в ЖТФ.- 2007.- Т. 33, В.2. – С. 1-7.
8. Calculation of the solid-liquid interfacial tension in metallic ternary systems. / D. Chatain, D.Pique, L.Coudurier et al. // J. of Materials Science. -1985. -Vol. 20. – P. 2233-2244.

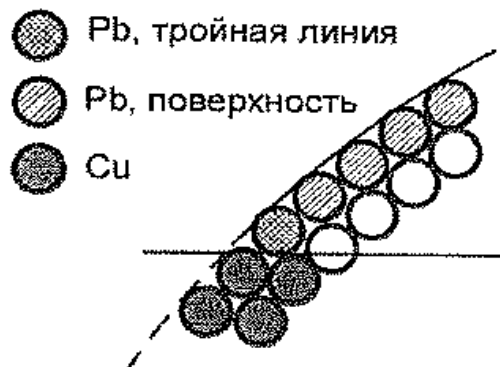


Рис. 3. Схематическое представление упаковки на линии трехфазного контакта